

بررسی روش‌های سنتز الیاف نانولوله‌های کربنی

حسین عشقی^{۱*}، مهدی شنبده^۲، احمد امیری^۲، سعید زینالی هریس^۲

۱- مشهد، دانشگاه فردوسی مشهد، دانشکده علوم پایه، گروه شیمی

۲- مشهد، دانشگاه فردوسی مشهد، دانشکده مهندسی، گروه مهندسی شیمی

پیام نگار: heshghi@um.ac.ir

چکیده

نانولوله‌های کربنی در سال‌های اخیر به دلیل خواص الکتریکی قوی، هدایت حرارتی و گسیل میدان الکترونی بالا، توجه مراکز علمی و تحقیقاتی و حتی مراکز صنعتی جهان را به خود جلب کرده‌اند. از سوی دیگر، چقرومگی و استحکام کششی بسیار بالا، مدول یانگ بالا و چگالی بسیار کم نانولوله‌های کربنی به تولید الیاف مستحکم و سبک وزن بر پایه نانولوله‌های کربنی توسط محققین انجامیده است. اما، علی‌رغم خواص یادشده، طول ناکافی و ناپیوستگی الیاف از چالش‌های پیش روی محققان است که تحقیقات بیشتر به منظور دست‌یابی به الیافی بدون نقص را بیان می‌کند. در این مقاله، به بررسی روش‌های آزمایشگاهی تولید الیاف نانولوله‌های کربنی خواهیم پرداخت. از روش‌های عمدۀ تولید الیاف نانولوله‌های کربنی که در تشریفات مختلف انتشار یافته، می‌توان به رسیدن محلول و رسیدن حالت جامد اشاره کرد. روش‌های دیگری نیز، چون رسیدن الکتروفورتیک و دی‌الکتروفورسیس نیز به صورت محدود گزارش شده‌اند که در ادامه به بررسی آن‌ها خواهیم پرداخت.

کلیدواژه‌ها: نانولوله‌های کربنی، الیاف، رسیدن، استحکام، چقرومگی

۱- مقدمه

بیش به موازات یکدیگر در محور طولی فایبریل قرار می‌گیرند و در بعضی نقاط به وسیله زنجیرهای عرضی به یکدیگر متصل شده‌اند. استحکام کششی، خاصیت کشسانی، طول الیاف و شکل ظاهری آن از جمله عوامل تأثیرگذار بر خواص الیاف است. مثلاً، هر چه طول الیاف بیشتر باشد تماس سطحی آن نیز بیشتر و در نتیجه در یک نخ، درگیری و یکنواختی بهتری شکل می‌گیرد. با این حال، رسیدن الیاف بر سه اصل کشیدن و هم تراز کردن، تاب دادن و پیچیدن استوار است. علاوه بر این، همواره بشر به دنبال دست‌یابی به الیافی با استحکام زیاد و وزن کم بوده است. تار عنکبوت، کولار و دینما از جمله الیاف با استحکام کششی و چقرومگی زیاد به شمار می‌آید. در این بین تار عنکبوت از فولاد محکم‌تر، بسیار سبک‌تر و

الیاف، رشته‌های بسیار باریکی‌اند با نسبت طول به قطر زیاد، همراه با کاربردهای متنوع که در کنار هم قرار گرفتن آن‌ها به تولید نخ منجر می‌شود. نخ رشته‌های باریک و بلندی، با اصلی‌ترین کاربرد در صنایع نساجی است. نخ‌ها به طور طبیعی، مصنوعی و یا تلفیقی از این دو تولید می‌شوند. نخ‌های طبیعی از الیاف‌های گیاهی کتان، کف، پنبه، ابریشم و جانوری پشم و نخ‌های مصنوعی از الیاف شیمیایی سلولز، پلی‌پروپیلن، استات‌سلولز، پلی‌اتیلن و آکریلیک که ساخته دست بشرند، تشکیل می‌شود. ساختار مولکولی الیاف از مجموع رشته‌های کوچک‌تری به نام فایبریل به وجود آمده است. هر فایبریل نیز مرکب از مولکول‌های زنجیره‌ای است که کم و

فهرستی از کاربردهای نانولله‌های کربنی در علوم مختلف از جمله الیاف، باتری‌ها، نانوسیالات، کامپوزیت‌ها و ... درج شده است (جدول ۱۱).

در مطالعه حاضر، با توجه به کاربردهای بی‌شمار الیاف نانولله‌های کربنی در علوم مختلف، به روش‌های تولید آن‌ها پرداخته شده است. از روش‌های تولید الیاف نانولله‌های کربنی می‌توان به ریسیدن محلول، ریسیدن حالت جامد، و ریسیدن الکتروفورتیک و دی الکترو فورز اشاره کرد که به شدت به نوع نانولله‌ها (تک یا چند جداره بودن)، طول و فرایند پذیری آن‌ها بستگی دارد. علاوه بر این، به طور خلاصه، تولید نانولله‌های کربنی به روش رسوب بخار شیمیایی (CVD) نیز بررسی شده است.

۲- روش‌های سنتز الیاف نانولله‌های کربنی

از روش‌های عمدۀ تولید الیاف نانولله‌های کربنی که در نشریات مختلف انتشار یافته، می‌توان به ریسیدن محلول و ریسیدن حالت جامد اشاره کرد. هرچند روش‌های دیگری چون ریسیدن الکتروفورتیک و دی الکترو فورز نیز به صورت محدود گزارش شده‌اند. با این حال، در ادامه به بررسی روش‌های ریسیدن نانولله‌های کربنی پرداخته می‌شود.

انعطاف‌پذیرتر است. این مزایا به تار عنکبوت این خاصیت را بخشیده است که هیچ ماده طبیعی و مصنوعی همانند خود ندیده باشد. تا اینکه محققان با کشف الیاف نانولله‌های کربنی به این یکه‌تازی تار عنکبوت پایان بخشیدند.

تاریخچه نانولله‌های کربنی به عنوان مواد منحصر به فرد، به سال ۱۹۹۱ میلادی بر می‌گردد [۱]. این نانو مواد در سال‌های اخیر به دلیل خواص الکتریکی قوی [۲]، رسانایی گرمایی بالا [۳] و گسیل میدانی الکترونی زیاد [۴] مورد توجه مراکز علمی و تحقیقاتی و حتی مراکز صنعتی جهان گرفته است. از سوی دیگر، چقلمگی و استحکام کششی بسیار زیاد، مدول بانگ بالا و چگالی بسیار کم نانولله‌های کربنی به تولید الیافی فوق العاده قوی و سبک وزن بر پایه نانولله‌های کربنی به دست پژوهشگران انجامیده است [۵-۱۰]. با این حال، تولید الیاف نانولله‌های کربنی می‌تواند راهی برای ورود به محدوده بالای از کاربردهای ماکروسکوپی‌های باشد. این الیاف می‌تواند برای کاربردهای ماکروسکوپیکی از قبیل جلیقه‌های ضد گلوله و مواد جلوگیری‌کننده از امواج الکترو مغناطیسی مناسب باشند. از این رو، تولید الیاف پیوسته نانولله‌های کربنی با ساختاری ساده و توانمند می‌تواند گامی مؤثر در تولید این محصول راهبردی شود. در جدول زیر

جدول ۱. کاربرد نانولله‌های کربنی در علوم مختلف

| کاربرد نانولله‌های کربنی | زمینه علمی | پارامترهای بر جسته تحقیق | مراجع |
|--------------------------|---------------|--|---------|
| الیاف | شیمی و مکانیک | استحکام کششی، چقلمگی، رسانایی الکتریکی | [۵-۱۰] |
| نانوسیال | شیمی- مکانیک | انتقال گرما، سنتز | [۱۱-۱۵] |
| کامپوزیت | مکانیک | توزیع پذیری همگن، استحکام کششی | [۱۶-۱۷] |
| خاصیت ضد میکروبی | بیوشیمی | غشاء سلولی، توزیع پذیری همگن | [۱۸-۲۲] |
| باتری | شیمی | ظرفیت | [۲۳] |
| ذخیره سازی هیدروژن | شیمی | ظرفیت | [۲۴] |
| حسگر | الکترونیک | گزینش پذیری، سطح شیمیایی | [۲۵] |
| ترانزیستور | الکترونیک | گزینش پذیری، سنتز | [۲۶-۲۷] |

۱-۲ ریسیدن محلول

است. بسپارهای همگنی مانند پلی وینیل پیرولیدن (PVP)، پلی وینیل الكل (PVA)، پلی استیرن سولفانات [۲۹]، پلی اتیلن اکساید-پلی پروپیلن اکساید [۳۰]، پلی استایرن-پلی اکریلیک اسید [۳۱] می توانند مقادیر بالایی از نانولوله ها را در خود پراکنده کنند که مقالات زیادی نیز در این زمینه منتشر شده است.

ناکاشیما و همکارانش [۳۲] با استفاده از یک کوپلیمر اکریل آمید و پیرن به عنوان حمل کننده اکریل آمید توانستند توزیع همگنی از نانولوله های کربنی را در محیط آبی به وجود آورند. بسپارش درجا بر روی نانولوله ها، ساخت سوسپانسیون های با رویه بسپاری را ممکن می کند. والتر و همکارانش از طریق بسپارش اکسایشی، نانولوله های کربنی چند جداره را در پلی آئیسیدین جای دادند [۳۳].

ویگلو و همکارانش [۳۴] برای اولین بار به تهیه الیاف نانولوله های کربنی تک جداره در حضور پلی وینیل الكل در آب پرداخت. محلول به طور هم زمان با از دست دادن حلال، منجمد و کشیده می شود و به صورت هم ترازی الیاف نانولوله به شکل ساختار نهایی الیاف را تولید می کند. آنها انعقاد را موجت شتاب در جریان تولید الیاف معرفی کردند. البته راهکارهای مختلفی به منظور توسعه الیاف محتوی نانولوله های کربنی تک جداره به منظور بهبود خواص مکانیکی و الکتریکی وجود دارد. مثلاً الیاف را می توان از طریق متورم کردن در حلال پلی وینیل الكل و خشک کردن آن در حین عملیات کشیدن تولید کرد [۳۵]. این روش به بهبود مدول یانگ (تا ۴۰ گیگاپاسکال) و استحکام کششی (تا ۲۳۰ مگاپاسکال) الیاف می شود.

انتقال بار بین نانولوله های کربنی و پلی وینیل الكل در الیاف نانولوله های کربنی محتوی پلی وینیل الكل بسیار موثر است. در واقع، استحکام کششی این الیاف یک درجه بالاتر از الیاف منعقد شده بدون پلی وینیل الكل است. با این حال، حضور بسپار در بین نانولوله ها توافق مناسبی با خواص الکتریکی دارد. خواص الکتریکی می تواند با کشش الیاف حین ریسیدن تا $200\Omega.cm$ بهبود یابد [۳۶].

۲-۱ ریسیدن محلول بر پایه بسپار

برای پراکنده سازی نانولوله های کربنی در محلول های آبی می توان از فعال کننده های سطحی استفاده کرد. صمغ عربی (GA)، ستیل تری متیل آمونیم بروماید (CTAB)، سدیم دودسیل سولفات

روش ریسیدن محلول شامل فرایندی چهار مرحله ای است که در آن ابتدا سوسپانسیونی پایدار به منظور تولید الیاف تشکیل می شود. سپس عملیات اختلاط و ریسیدن سوسپانسیون انجام می شود و الیاف به صورت جامد کشیده می شوند. در آخرین مرحله شستشو، خشک کردن و حرارت دهنده انجام می شود [۲۸]. با این حال، روش های ریسیدن محلول بر پایه بسپارها، فعال کننده های سطحی و اسیدها انجام می شود. در این نوع ریسیدن، نانولوله های کربنی به واسطه ناپایداری در حلal های قطبی، مانند آب، به ترتیب، با ایجاد پیوند کوالانسی و غیرکوالانسی میان حلal قطبی و اسیدها، و نیز بسپارها و فعال کننده های سطحی سوسپانسیونی پایدار را تشکیل می دهد. با این حال، عامل دار کردن غیرکوالانسی روشی آسان، سریع، و ارزان برای افزودن خواص مفید به نانولوله های کربنی محسوب می شود. سطح نانولوله های کربنی با نیتروی واندروالس ذاتی خود قادرند نوعی برهمکنش $\pi-\pi$ را با ترکیبات آromاتیک چند هسته ای، بسپارها و فعال کننده های سطحی برقرار کنند. عامل دار کردن غیرکوالانسی نانولوله های کربنی در قیاس با عامل دار کردن کوالانسی دارای دو مزیت به قرار زیر است. یکی از مزیت های روش غیرکوالانسی عدم تغییر ساختار نانولوله های کربنی است. یکی دیگر از مزایای این روش از این قرار است که شرایط عملیاتی و فرایند آمده سازی مواد معمولاً ساده و شدنی است. اما، این نوع عامل دار کردن دارای عیب و ایرادی نیز هست. تشکیل فوم و کاهش سطح ویژه نانولوله از ایرادهای بارز عامل دار کردن غیرکوالانسی محسوب می شود. با این حال، عامل دار کردن کوالانسی نیز به دلیل تشکیل پیوندهای دائمی بر روی سطح نانولوله های کربنی به تشکیل سوسپانسیون پایدار تا چندین ماه می انجامد [۱۱-۱۵].

۲-۲ ریسیدن محلول بر پایه فعال کننده سطحی

مجموعه های بسپاری موادی مفیدند که برای ساخت سوسپانسیون های پایدار محتوی نانولوله های کربنی به کار می روند. به طور خلاصه، چند راه حل با هدف ساخت سوسپانسیون پایدار نانولوله های کربنی بر پایه بسپارها ارائه شده است. این روش ها شامل مخلوط کردن فیزیکی مواد در حلal ها، بسپارش تک پارها در حضور نانولوله های کربنی و عامل دار کردن غیرکوالانسی نانولوله های کربنی

۳-۱-۲ ریسیدن محلول بر پایه اسید

عامل دار کردن نانولوله‌های کربنی به روش‌های متفاوتی انجام می‌شود. هدف اصلی عامل دار کردن افزودن خواص ویژه به نانولوله و نیز افزایش فعالیت شیمیایی آن برای برهمنکنش با سایر مواد است. با این حال، استفاده از عامل دار کردن کووالانسی در فرایندهای سنتز سوسپانسیون پایدار سبب افزایش درجه عامل دار کردن می‌شود. روش‌های مختلفی برای عامل دار کردن کووالانسی نانولوله‌های کربنی وجود دارد که عبارت‌اند از مخلوط کردن در

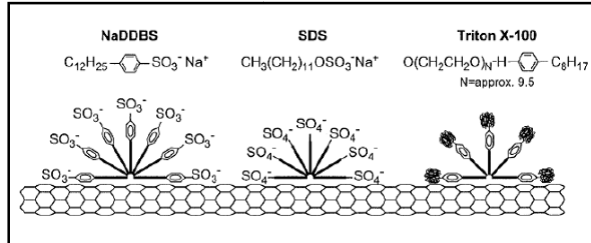
حالت سونیک، بمباران یونی و استفاده از اسیدهای قوی.

اسید شویی نانولوله‌های کربنی برای حذف هم‌زمان مقادیری از کربن‌های بی‌نظم و فلزات موجود در مرحله تولید نانولوله‌های کربنی که عموماً شامل کبات و آهن انجام می‌شود. اسیدها، علاوه بر حذف ناخالصی فلزی، گروه‌های عاملی کربوکسیل را بر روی جداره نانولوله‌های کربنی می‌نشانند. به منظور حذف اسیدهای اضافی و توقف واکنش، شستشوی نانولوله‌های کربنی با حللهای مختلف از قبیل دی‌متیل فرمامید انجام می‌شود [۱۴]. دمای خشک کردن نانولوله‌های کربنی نیز از اهمیت بالایی برخوردار است. گاهی دماهای بالا باعث جدا شدن یا حرکت گروه‌های عاملی شکل گرفته بر روی نانولوله‌های کربنی می‌شود. در اکثر مقالات منتشر شده در نشریات مختلف این عملیات در بازه دمایی ۲۵ تا ۸۰ درجه سلسیوس گزارش شده است. با این حال، دمای ۷۰°C بیشترین آمار استفاده را به خود اختصاص داده است [۴۲-۴۳].

اسیدهایی از قبیل سولفوریک، نیتریک، کلریدریک و ... به علت بهای ارزان، نسبت به بسپارها می‌تواند برای تولید تجاری الیاف مصنوعی با عملکرد بالا به کار گرفته شوند. اسیدها با ایجاد پیوند کووالانسی تقریباً پیوندی محکم و دائمی بر روی سطح نانولوله‌های کربنی ایجاد می‌کنند. از سوی دیگر، نانولوله‌ها با پروتون رانشی الکتروستاتیک خود در تعاملات واندروالسی به صورت خود به خودی عمل می‌کنند. بسته به نوع غلظت اسید، سه نوع رژیم متفاوت مشاهده می‌شود. در غلظت‌های کم، نانولوله‌ها در اسید به طور تصادفی عامل دار می‌شوند. در غلظت‌های متوسط، تعادل دوفازی بین فاز مایع و بلوری مشاهده می‌شود. در غلظت‌های بالاتر یک محلول کاملاً بلوری تشکیل می‌شود [۴۴].

اساس ریسیدن در غیاب بسپار، با تغییر pH امکان‌پذیر می‌شود.

سدیم دودسیل بنزن سولفونات (SDBS) و تریتون از نوع TX-100 نمونه‌هایی از این موادند [۱،۲،۳]. اسلام و همکارانش [۳۷] میزان پراکندگی نانولوله‌های کربنی تک جداره متصل شده به فعال‌کننده‌های سطحی SDBS و TX-100 را در محیط آبی مورد بررسی قرار دادند (شکل ۱). مطابق با نتایج آن‌ها، بیشترین میزان پراکنده شدن به ترتیب مربوط به SDBS و TX-100 است.



شکل ۱. جذب فعال‌کننده‌های سطحی بر روی

نانولوله‌های کربنی [۳۷]

SDBS و TX-100 دارای بخش بنزنی اند و پیوندهای $\pi-\pi$ قوی‌تری را بر نانولوله‌های کربنی تشکیل می‌دهند، اما SDBS نسبت به TX-100 بهتر پراکنده می‌شود. اشکال TX-100 به ممانعت فضایی گروه‌های موجود در رأس این ترکیب مربوط می‌شود که بر همین اساس چگالی گروه‌های موجود بر روی سطح نانولوله‌های کربنی کم می‌شود.

غلظت فعال‌کننده‌های سطحی به کار رفته برای شکل‌گیری سوسپانسیون پایدار بسیار مهم است. اگر مقدار آن بیش از حد کم باشد، موجب ثبات ناکافی و اگر مقدار آن بیش از حد باشد، فشار اسمزی بیش از حد باعث تجمع نانولوله‌ها در سوسپانسیون می‌شود. البته، استفاده از فعال‌کننده‌های سطحی با وزن مولکولی کم نیز سبب به هم پیوستگی نانولوله‌های کربنی می‌شود که عمل ریسیدن را تقریباً ناممکن می‌کند [۳۸]. با این حال، خالص‌سازی اولیه نانولوله‌های کربنی در شتاب بخشیدن به واکنش عامل دار شدن، موثر است [۳۹-۴۰].

نری و همکارانش [۴۱] الیاف نانولوله‌های کربنی اکسید شده را که در محلول آبی پلی وینیل الکل پراکنده شده بود تولید کردند. آن‌ها خواص الیاف تولیدی را با الیاف نانولوله‌های کربنی اکسید شده محتوای فعال‌کننده سطحی SDS مقایسه کردند. نتایج آنان نشان داد که چقرمگی الیاف مشابه و مقاومت بهتر شده است اما استحکام کششی و مدول یانگ کمتر شده است.

وارد حمام شستشوی استن یا دی اتیل اتر می‌شود. در روش ریسیدن بر پایه اسید بدون کوچک‌ترین کششی، الیاف وارد حمام شستشوی می‌شوند [۴۵-۴۶].

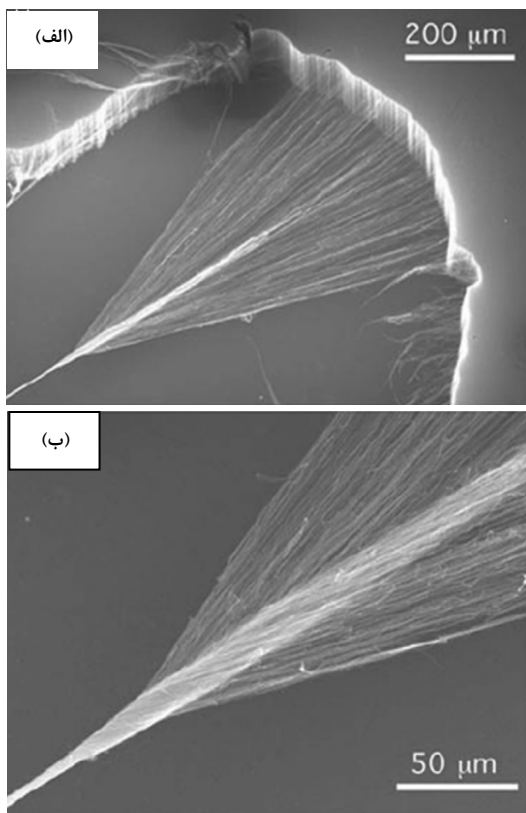
در جدول (۲) خلاصه‌ای از بررسی‌های آزمایشگاهی منتشر شده در نشریات مختلف مبنی بر ریسیدن محلول نانولوله‌های کربنی درج شده است.

بر اثر انعقاد از طریق افزودن اسید، pH در محیط خنثی را به کمتر از یک می‌رساند [۶]. روش ریسیدن بر پایه اسید و بسپار تقریباً یکسان است. روش ریسیدن بدین ترتیب است که ابتدا سوسپانسیون پایدار از نانولوله‌های کربنی تشکیل داده و از طریق یک سرنگ به درون حمام انعقاد تزریق می‌کنیم. در ریسیدن بر پایه بسپار از شاخه دیگر بسپار تزریق می‌شود و با انعقاد هر دو، بعد از خروج با کشیده شدن به صورت الیافی ژل مانند به دور قرقره بیچریده شده و

جدول ۲. شرایط سنتز رسیدن محلول نانولوله‌های کربنی و جزئیات تولید الاف در نشریات مختلف

| نوع ماده | Resistivity ($\Omega \cdot cm$) | مقاومت الكتریکی ($\Omega \cdot cm$) | سختی الیاف CNT (GPa) | استحکام الیاف CNT (GPa) | مدول الیاف CNT (GPa) | قطر CNT (nm) | طول CNT (μm) | غلظت (wt.%) | سوسپانسیون | سال انتشار | نویسنده [امراز] |
|----------|-----------------------------------|---------------------------------------|----------------------|-------------------------|----------------------|--------------|---------------------|-------------|--------------------------|------------|------------------------|
| ۹۴ | | | | | | | | ۵ | /پلی اتیلن گلایکول/MWCNT | | |
| ۹۷/۳ | | | | | | | | ۱۰ | | | |
| ۹۸/۸ | | | ۱۷/۳۰۳ | ۱۸۸ | | | | ۱۵ | | | |
| ۱۰۰/۵ | | | ۱۷/۹۲ | ۱۷۸ | ۳۰-۱۰ | ۱۰ | | ۲۰ | /پلی اتیلن گلایکول/SWCNT | ۲۰۱۲ | پاتنی و همکاران [۴۷] |
| ۱۲۴ | | | ۴۶/۸۴۹ | ۱۸۴ | ۲-۱ | ۱۰ | | ۵ | | | |
| ۱۲۹ | | | ۱۸/۴۳۳ | ۲۰۰ | | | | ۱۰ | | | |
| ۱۳۵ | | | | | | | | ۱۵ | | | |
| ۱۴۳ | | | | | | | | ۲۰ | | | |
| | | | | | | | | ۱ | /پلی آمید/MWCNT | | |
| | | | | | | | | ۲/۵ | | | |
| | | | | | | | | ۵ | | | |
| | | | | | | | | ۷ | | | |
| | | | | | | | | ۱ | /پلی آمید | ۲۰۰۹ | پروت و همکاران [۴۸] |
| | | | | | | | | ۲/۵ | | | |
| | | | | | | | | ۵ | | | |
| | | | | | | | | ۷ | | | |
| | | | | | | | | | | | |
| | | | ۲/۲۵ | ۰/۱۵ | ۱۵ | | | ۵ | /پلی وینیل الکل/SWCNT | ۲۰۰۰ | ویگلو و همکاران [۳۴] |
| | | | ۰/۸۲ | ۰/۲۳ | ۴۰ | | | | | | |
| | | | | | | | | | | | |
| ۱۰ | ۰/۰۱ | - | - | - | | | | ۵ | /پلی وینیل الکل/SWCNT | ۲۰۰۴ | بادایر و همکاران [۴۶] |
| | | | | | | | | | | | |
| | | | ۵۷۰ | ۱/۸ | ۸۰ | | | | /پلی وینیل الکل/SWCNT | ۲۰۰۳ | دالتون و همکاران [۴۹] |
| | | | | | | | | | | | |
| - | ۰/۱۵ | - | | | ۲ | ۱ | | | SWCNT | ۲۰۰۵ | اشتینتر و همکاران [۵۰] |
| | | | | | | | | | | | |
| ۱/۴ | ۰/۱۵ | - | ۰/۰۶۵ | ۱۲ | | | | ۵ | /پلی وینیل الکل/SWCNT | ۲۰۰۵ | کوزلزو و همکاران [۵۱] |
| | | | | | | | | ۵ | /پلی وینیل الکل/DWCNT | | |
| | | | | | | | | | | | |
| ۲۰ | ۰/۰۰۰۲ | - | ۰/۱۱۶ | ۱۲۰ | ۱ | | | | /سولفوریک اسید/SWCNT | ۲۰۰۴ | اریکسون و همکاران [۴۷] |

استحکام کششی، مقاومت به خرزش بالا و رسانش الکتریکی بالا بودند. آنان انعطاف پذیری بالای الیاف سنتز شده پس از گرم شدن در هوا را نیز در 450°C به مدت یک ساعت و یا مدت زمانی که در نیتروژن مایع غوطه ور است، گزارش کردند. ژیا و همکارانش [۹۱] استحکام کششی الیاف نانولوله های کربنی تولیدی بر پایه Forest را بررسی و مطالعه کردند. بنابر نتایج آنان، استحکام کششی الیاف سنتز شده بر پایه Forest کمتر از استحکام کششی الیاف های رایجی چون کولار، الیاف کربن و دینما است. آنان این اتفاق را ناشی از عدم یکپارچگی الیاف سنتز شده بر پایه Forest دانستند. هرچند قطر نانولوله های کربنی کمتر از الیاف کربنی است. نتایج مشابهی توسط اتکینسون و همکاران [۷۹]، لیو و همکاران [۶۷-۶۹]، لی و همکاران [۷۰-۷۱] و ایتو و همکاران [۵۲] گزارش شده است. با این حال، در شکل (۲) تصاویر ریزبین الکترونی از الیاف تولید شده به روش ریسیدن بر پایه Forest بر روی ویفر سیلیکونی را مشاهده می کنید. با پر پیچ و خم کردن نانولوله های کربنی در طول، می توان الیافی با طول زیاد به دست آورد.



شکل ۲. ریزبین الکترونی عبوری (TEM) از الیاف نانولوله های کربنی [۶]

۲-۲ ریسیدن خشك بر پایه CNT Forest

ریسیدن نانولوله های کربنی می تواند به صورت ریسیدن خشك از نوع Forest انجام شود. در این روش، تعداد زیادی از رشته های نانولوله های کربنی به صورت عمودی و هم تراز بر روی بستری که عموماً متشکل از جنس سیلیکون، رشد می یابد و الیاف تولید می شوند. ریسیدن الیاف نانولوله های کربنی بر پایه Forest روشی دو مرحله ای است. در مرحله اول، نانولوله رشد داده می شود و در مرحله بعد با کشیدن انبوه نانولوله های کربنی الیاف نانولوله های کربنی تشکیل می شوند. بر همین اساس، تلفیق سنتز نانولوله های کربنی و الیاف با یکدیگر، یکی از بارزترین مزایای این نوع ریسیدن است. یکی دیگر از مزایای این روش، کنترل پارامترهای نانولوله های کربنی از قبیل طول، قطر و فاصله بین نانولوله ها به طور مستقل است. بنابراین، اثر پارامترهای یادشده در بالا بر خواص الیاف تولیدی، می تواند به راحتی بررسی شود. به طور کلی، مراحل تولید الیاف نانولوله های کربن بر پایه Forest را می توان به این صورت تشریح کرد که ابتدا بايد سطحی هموار و مسطح برای نشاندن کاتالیزگر فراهم شود. سپس، با قرار دادن سطح حاوی کاتالیزگر در کوره و عبور گاز حاوی منبع کربنی و نیز گازهای حامل، دمای کوره را تا دمای از پیش تعیین شده می رسانند. در نهایت، نانولوله های کربنی به صورت آرایه بر روی سطح تشکیل می شود. آنها را بیرون می کشند و الیاف نانولوله های کربنی را ایجاد می کنیم. در این روش، عامل اصلی برای تشکیل الیاف، برهمکنش واندروالس بین نانولوله های کربنی است.

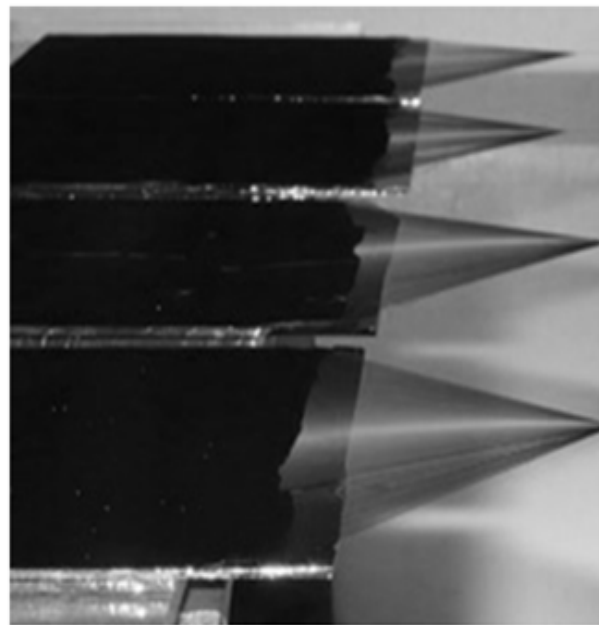
ژینگ و همکارانش [۱۵] برای نخستین بار روش ریسیدن خشك بر پایه CNT Forest را گزارش کردند. آنان نشان دادند که آرایه های نانولوله های کربنی می تواند به صورت خود به خودی به سادگی تا بالاتر از ۳۰ سانتی متر در طول و ۲۰۰ میکرون در پهنای و با خارج شدن به صورت هم تراز، الیاف تولید کنند. همچنین، آنان گزارش کردند که استحکام کششی و رسانایی الکتریکی الیاف تولیدی با گرم کردن آنها در دمای بالا افزایش یافته است. در کاری مشابه، ژنگ و همکارانش [۶] دو سال بعد، در دانشگاه تگزاس الیاف نانولوله های کربنی با استحکام بالاتر از ۴۶۰ مگا پاسکال را تولید کردند. الیاف های سنتز شده برخلاف الیاف های معمولی دارای

تا ۹۰۰ درجه سلسیوس در یک کوره لوله‌ای شکل حرارت داده شده و سپس منبع هیدروکربنی (متان، اتیلن و استیلن) با زمان ماندی مشخص از روی آن عبور داده می‌شود. مواد رشد یافته بر روی مواد کاتالیزوری جمع آوری و تا دمای اتاق خنک می‌شود. کاتالیزورهای مناسب برای این روش نانوذرات فلزی واسطه نظیر آهن، کبالت و نیکل اند که بر روی یک پایه نظیر آلومینا قرار گرفته‌اند. سمتگیری عالی و نیز کنترل موقعیت در ابعاد نانومتری، با استفاده از روش رسوب بخار شیمیایی به دست می‌آید. همچنین، با استفاده از این روش می‌توان قطر و آهنگ رشد نانولوله‌ها را کنترل کرد. با این حال، با استفاده از کاتالیزورهای فلزی مناسب به جای نانولوله‌های چند جداره، می‌توان نانولوله‌های تک جداره نیز تولید کرد [۶۴].

۲-۲ ریسیدن مستقیم بر پایه CNT Aergel

ریسیدن مستقیم روشی تک مرحله‌ای و شامل تولید الیاف نانولوله‌های کربنی بدون محدودیت طولی است. سنتز الیاف نانولوله‌های کربنی با ریسیدن مستقیم در فاز بخار یک راکتور عمودی (gas-phase CVD) در دمای بالاتر از ۱۰۰۰°C صورت می‌پذیرد. برای ریسیدن مستقیم بر اساس رسوب بخار شیمیایی- فاز گاز، منبع کربنی یک پارامتر اساسی است. در واقع، برای تشكیل نانولوله‌های کربنی بهتر است منبع کربنی شامل اکسیژن باشد (مانند استون، دی‌اتیل اتر و ...) تا ریسیدن موفق‌تر صورت گیرد. با این حال، استفاده از هیدروکربن‌های آروماتیک برای تشكیل نانولوله‌های کربنی، به دلیل افزایش تولید کربن‌های آمورف پیشنهاد نمی‌شود [۸]. در روش ریسیدن مستقیم عوامل کلیدی دیگر، چون قطر، طول و تعداد جداره‌های نانولوله‌های کربنی نیز بر موقوفیت‌آمیز بودن تولید الیاف مرغوب تأثیرگذارد. انتخاب مناسب کاتالیزگر و مدت زمان واکنش راهی برای کنترل تعداد جداره‌ها و طول است [۷۵، ۷۰]. کارور و همکارانش [۹۵] با استفاده از رسوب بخار شیمیایی- فاز گاز نشان داد که در صورت کنترل شدت جریان کاتالیزگر می‌توان به الیافی با خواص مکانیکی بهبود یافته دست یافت. این امر می‌تواند موجب افزایش مقدار نانولوله‌های تک جداره و یا منجر به طویل‌تر شدن نانولوله‌ها شود.

تا امروز فناوری ریسیدن بر پایه Forest CNT بدون تغییر باقی‌مانده است. با این حال، دو سازوکار کلی می‌توان برای فناوری ریسیدن بر پایه CNT Forest ارائه داد. بنابر سازوکار اول، یا به بیانی دیگر مدل اول، که نیروهای واندروالس بین نانولوله‌های هم‌تراز موجب کشیده شدن مداوم نانولوله‌ها از انبو نانولوله‌های کربنی را امکان پذیر می‌کند. بر اساس این مدل، سطح تمیز نانولوله‌های کربنی از مهم‌ترین عوامل تضمینی بر ریسیدن توانمند بر پایه Forest است. مدل دوم اتصال نانولوله‌های کربنی به دسته‌های نانولوله‌ها برای ریسیدن مداوم یک الیاف نانولوله‌های کربنی از انبو نانولوله‌های کربنی را ارائه می‌کند (شکل (۳)).



شکل ۳. تهیه الیاف نانولوله‌های کربنی به روش Forest [۱۰]

در جدول (۳) خلاصه‌ای از بررسی‌های آزمایشگاهی منتشر شده در نشريات مختلف روی شرایط سنتز الیاف نانولوله‌های کربنی از نوع Forest درج شده است.

در جدول (۴) خلاصه‌ای از بررسی‌های آزمایشگاهی انتشار یافته در نشريات مختلف روی شرایط تولید نانولوله‌های کربنی با روش‌های رسوب بخار شیمیایی (CVD) درج شده است. روش رسوب بخار شیمیایی یکی از متدائل‌ترین و کارآمدترین روش‌های تولید نانولوله‌های کربنی است. در این روش مواد کاتالیزوری تا دمای ۶۰۰

بررسی روش‌های سنتز الاف نانولوله‌ای کربنی

جدول ۳. شرایط سنتز ریسیدن نانولوله‌های کربنی از نوع Forest و جزئیات تولید الیاف در نشریات مختلف

| نوبندها [مراجع] | سال انتشار | روش CVD* | کاتالیست | ضخامت کاتالیست (nm) | منبع کربنی (scem) | گاز حامل (scem) | نرخ جریان کلی (scem) | دما (°C) | قطر CNT (mm) | ارتفاع آریه‌های CNT (mm) | استحکام الیاف CNT (GPa) | سختی الیاف CNT (GPa) | هدایت الکتریکی (10 ⁴ S/m) |
|-------------------------|------------|----------|-----------|---------------------|-------------------|-----------------|----------------------|----------|--------------|--------------------------|-------------------------|----------------------|--------------------------------------|
| زنگ و همکاران [۵] | ۲۰۰۲ | CVD | آهن | ۵ | اتیلن | آرگون | ۱۰۰۰ | ۷۰۰ | -۱۴ ۱۸ | -۰/۰۳ ۰/۲۴ | - | - | - |
| زنگ و همکاران [۶] | ۲۰۰۴ | AP-CVD | آهن | ۵ | استیلن٪ (مولی) | هليوم | ۵۸۰ | ۶۸۰ | ۱۵-۸ | - | +۴۶-۰/۱۵ | - | ۳ |
| اینزو و همکاران [۵۲] | ۲۰۰۸ | FC-CVD | کلرید آهن | - | استیلن | - | - | ۸۲۰ | -۳۰ ۵۰ | ۲/۱ | - | - | - |
| قسم و همکاران [۵۳] | ۲۰۱۲ | FC-CVD | کلرید آهن | - | استیلن | - | - | - | - | ۱/۰۶۸ | ۵۵ | - | - |
| مین و همکاران [۵۴] | ۲۰۱۳ | CVD | آهن | ۲/۳ | استیلن٪ (مولی) | هليوم | ۶۵۰ | ۶۷۰ | ۱۰ | ۰/۳۵ | ۲/۵ | ۱۲۱ | - |
| میاو و همکاران [۵۵] | ۲۰۱۲ | CVD | آهن | ۲/۵ | استیلن٪ (مولی) | هليوم | ۷۰۰ | ۶۸۰ | ۱۰-۴ | ۰/۳۵ | - | ۰/۶۵ | - |
| ریکاردیس و همکاران [۶۴] | ۲۰۰۶ | CVD | نیکل | ۱۲۰-۴۰ | استون | - | - | - | - | - | - | - | - |
| میاو و همکاران [۵۷] | ۲۰۱۱ | CVD | آهن | ۲/۵ | استیلن٪ (مولی) | هليوم | ۷۰۰ | ۶۸۰ | ۱۰-۴ | ۰/۳۵ | - | - | - |
| گیلوایی و همکاران [۵۸] | ۲۰۱۱ | AP-CVD | آهن | ۴ | استیلن | هليوم | ۲۴۵ | ۷۰۰ | ۱۵ | ۰/۳ | - | - | - |
| جاکوبینک و همکاران [۵۹] | ۲۰۱۲ | CVD | - | - | اتیلن | هیدروژن | - | - | ۴ | - | - | - | - |
| میاو و همکاران [۶۰] | ۲۰۱۱ | CVD | آهن | ۲/۵ | استیلن٪ (مولی) | هليوم | ۷۰۰ | ۶۸۰ | ۱۰-۴ | ۰/۳۵ | - | - | - |
| دینگ و همکاران [۶۱] | ۲۰۱۲ | CVD | آهن | ۲/۳ | استیلن٪ (مولی) | هليوم | ۶۵۰ | ۶۷۰ | ۱۰ | ۰/۴ | - | - | - |
| ابراتسو و همکاران [۶۲] | ۲۰۰۹ | AP-CVD | آهن | ۵ | استیلن٪ (مولی) | هليوم | ۵۸۰ | ۶۸۰ | ۱۵-۸ | - | +۴۶-۰/۱۵ | - | - |
| وی و همکاران [۶۳] | ۲۰۰۶ | CVD | آهن | ۵ | اتیلن | آرگون | ۱۰۰۰ | ۷۰۰ | -۱۴ ۱۸ | -۰/۰۳ ۰/۲۴ | - | - | - |
| برادفورد و همکاران [۶۴] | ۲۰۰۸ | AP-CVD | آهن | ۵ | استیلن٪ (مولی) | هليوم | ۵۸۰ | ۶۸۰ | ۱۵-۵ | - | +۴۶-۰/۱۵ | - | - |
| فروغی و همکاران [۶۵] | ۲۰۱۲ | AP-CVD | آهن | ۵ | استیلن٪ (مولی) | هليوم | ۵۸۰ | ۶۸۰ | ۱۰ | ۰/۳ | - | - | - |

*رسوب بخار شیمیایی (CVD)، رسوب بخار شیمیایی در فشار اتمسفر (AP-CVD)، رسوب بخار شیمیایی شناور در کاتالیزگر (FC-CVD)

جدول ۴. شرایط سنتز نانولوله‌های کربنی و جزئیات تولید آن‌ها در نشریات مختلف

| هدایت الکتریکی (10^4 S/m) | سختی الیاف CNT (GPa) | استحکام الیاف CNT (GPa) | ارتفاع آرایه‌های CNT (mm) | قطر CNT (nm) | دما (°C) | نرخ جریان کلی (scm) | گاز حامل (seem) | منبع کربنی (secm) | ضخامت کاتالیست (nm) | کاتالیست | روش CVD* | سال انتشار | نویسندها [امرجع] |
|---------------------------------------|----------------------|-------------------------|---------------------------|--------------|----------------------------|---------------------|------------------------------|----------------------|---------------------|----------|----------|------------|-------------------------|
| - | - | - | - | - | -۶۰۰ ۶۸۰ | ۳۳۰ | آرگون | استیلن (۳۰) | ۵-۳ | آهن | CVD | ۲۰۰۵ | لیو و همکاران [۶۷] |
| - | - | - | - | ۶/۲ | ۶۸۰ | ۳۳۰ | آرگون (۲۰۰) هیدروژن (۱۰۰) | استیلن (۳۰) | ۰/۲ | | | | |
| - | - | - | ۰/۹ | ۶/۸ | ۶۸۰ | ۴۶۰ | آرگون (۳۰۰) هیدروژن (۱۰۰) | استیلن (۳۰) | ۳/۲ | آهن | AP-CVD | ۲۰۰۸ | لیو و همکاران [۶۸] |
| - | - | - | ۰/۳۶ | ۹/۲ | ۶۶۰ | ۴۳۰ | آرگون (۳۰۰) هیدروژن (۱۰۰) | | ۵ | | | | |
| ۹/۱ | ۵۶-۴۸ | ۱/۱-۰/۶۳ | - | - | -۶۸۰ ۷۲۰ | ۵۵۰ | هیدروژن | استیلن (۵۰۰) | ۵/۵-۳/۵ | آهن | CVD | ۲۰۱۰ | لیو و همکاران [۶۹] |
| - | - | - | - | - | -۶۰۰ ۶۸۰ | ۳۳۰ | آرگون | اتیلن (۱۰۰) | ۱-۰/۳ | آهن | CVD | ۲۰۰۶ | لی و همکاران [۷۰] |
| - | - | - | ۰/۵ | ۱۵-۱۰ | ۷۵۰ | ۵۰۰ | آرگون | اتیلن (۲۰۰) | ۵ | آهن | CVD | ۲۰۰۶ | لی و همکاران [۷۱] |
| - | - | - | ۱ | ۱۰ | | | آرگون (۳۰۰) هیدروژن (۵۰۰) | اتیلن (۱۱۰) | ۱ | آهن | AP-CVD | ۲۰۱۰ | لی و همکاران [۷۲] |
| - | ۷۴ | ۰/۵۶۴ | - | - | -۶۲۰ ۷۰۰ -۶۸۰ ۷۲۰ | ۴۳۷ | آرگون | استیلن (۱۲) | ۵/۵-۳/۵ | آهن | AP-CVD | ۲۰۰۶ | زنگ و همکاران [۷۳] |
| - | ۷۴ | ۰/۵۶۴ | - | - | -۶۸۰ ۷۲۰ | ۵۵۰ | هیدروژن | استیلن (۵۰۰) | | | LP-CVD | | |
| - | -۱۰۰ ۲۶۳ | ۳/۳-۱/۳۵ | ۱-۰/۳ | ۷ | ۷۵۰ | ۲۰۰ | آرگون (٪۹۴) هیدروژن (٪۶) | اتیلن (۱۰۰) | ۱۰ | آهن | CVD | ۲۰۰۷ | زنگ و همکاران [۷۴] |
| ۴/۱-۱/۷ | -۸۹ ۳۳۰ | ۱/۹۱-۰/۱۷ | ۰/۶۵ | ۱۰ | ۷۵۰ | ۲۰۰ | آرگون (٪۹۴) هیدروژن (٪۶) | اتیلن (۱۰۰) | ۱ | آهن | CVD | ۲۰۰۷ | زنگ و همکاران [۷۵] |
| ~۵ | ۳۰-۷ | ۰/۶-۰/۱۳ | ۱ | ~۱۰ | ۷۵۰ | ۶۸۰ | آرگون (٪۵۰) هیدروژن (٪۱۸) | اتیلن (۱۵۰) | ۲ | آهن | CVD | ۲۰۰۸ | زنگ و همکاران [۷۶] |
| - | - | - | ۰/۲ | ۸۰-۱۵ | ۸۰۰ | ۷۰۰ | آرگون (٪۹۵) هیدروژن (٪۵) | اتیلن (۱۰۰) | - | فروسن | FC-CVD | ۲۰۰۹ | زنگ و همکاران [۷۷] |
| - | - | ۰/۳-۰/۲۴ | ۰/۷-۰/۰/۲ | ۴۰-۳۰ | ۸۱۰ | ۸۰۰ | آرگون (٪۸۰) هیدروژن (٪۲۰) | سیکلو هگزان ml/h (۵) | - | فروسن | FC-CVD | ۲۰۱۰ | زنگ و همکاران [۷۸] |
| - | -۱۰۰ ۲۶۳ | ۳/۵-۱/۳۵ | ۱-۰/۳ | ۷ | ۷۵۰ | ۲۰۰ | آرگون (٪۹۴) هیدروژن (٪۶) | اتیلن (۱۰۰) | ۱۰ | آهن | CVD | ۲۰۰۷ | اتکینسون و همکاران [۷۹] |

بررسی روش‌های سنتز الاف نانولولهای کربنی

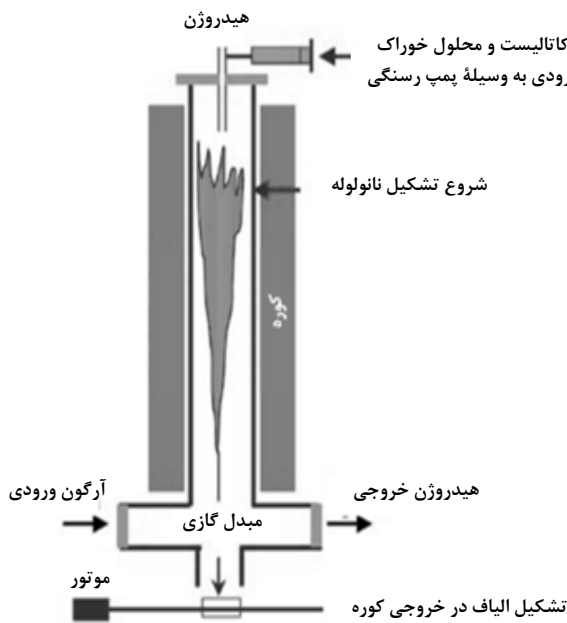
(ادامه) جدول ۴. شرایط سنتز نانولولهای کربنی و جزئیات تولید آن‌ها در نشریات مختلف

| نویسنده‌گان [مرجع] | سال انتشار | روش CVD* | کاتالیست | ضخامت کاتالیست (nm) | منبع کربنی (scm) | غاز حامل (scm) | نورخ گریان کلی (scm) | دما (°C) | قطر CNT (nm) | ارتفاع آرایه‌های CNT (mm) | استحکام الاف CNT (GPa) | سختی الاف CNT (GPa) | هدایت الکتریکی (10^4 S/m) |
|-----------------------|------------|----------|-----------|---------------------|----------------------|----------------------------|----------------------|-------------|------------------------|---------------------------|------------------------|---------------------|------------------------------|
| وی و همکاران [۸۰] | ۲۰۰۷ | LP-CVD | آهن | ۵ | استیلن (۵۰۰) | هیدروژن | ۵۵۰ | -۶۸۰ ۷۲۰ | - | - | - | - | - |
| پنگ و همکاران [۸۱] | ۲۰۰۸ | CVD | آهن | - | اتانول | هیدروژن (۶٪)/ آرگون (۹۴٪) | - | -۸۰۰ ۸۵۰ | ۳۹ | - | ۰/۳۵ | - | ۲۵۰ |
| شیمیزو و همکاران [۸۲] | ۲۰۰۹ | FC-CVD | کلرید آهن | - | استیلن | - | - | ۸۲۰ | - | ۱/۵ | - | - | - |
| ترن و همکاران [۸۳] | ۲۰۰۹ | CVD | آهن | ۵ | استیلن (%mol) (۵) | هليوم | ۵۸۰ | ۶۸۰ | -۷/۵ ۸/۵ | -۰/۴-۰/۹۷ | -۰/۴-۰/۳ | - | - |
| سیرس و همکاران [۸۴] | ۲۰۱۰ | CVD | آهن | ۵ | استیلن (%mol) (۵) | هليوم | ۶۵۰ | ۶۷۰ | ۱۵-۱۰ | ۰/۳۵ | ۰/۳۵ | - | - |
| هنه و هاوكینز [۸۵] | ۲۰۱۰ | CVD | آهن | ۲/۳ | استیلن (%mol) (۵) | هليوم | ۶۵۰ | ۶۷۰ | ۱۰ | - | ۰/۴ | - | - |
| هونه و همکاران [۸۶] | ۲۰۱۱ | CVD | آهن | ۲ | استیلن | آرگون | ۱۰۰ | ۶۸۰ | -۱۰/۵ -۸/۷ -۱۰/۶ | -۰/۲۶-۰/۲۴ | -۰/۸-۰/۴ | - | - |
| لیپرو و همکاران [۸۷] | ۲۰۱۰ | CVD | آهن | ۲ | استیلن (۷%vol) | هیدروژن (۳۷٪)/ آرگون (۶۳٪) | ۸۰۰ | - | ۱۱/۱ | - | ۰/۳ | - | ۳/۵ |
| ینگ و همکاران [۸۸] | ۲۰۱۰ | Py-CVD | فروسن | - | پلی پروپیلن | هیدروژن (۳۰٪)/ آرگون (۵۰٪) | ۵۳۰ | ۸۰۰ | -۲۲/۶ ۳۶ | -۰/۸ | - | - | - |
| فنگ و همکاران [۸۹] | ۲۰۱۰ | AP-CVD | آهن | ۵ | استیلن (%mol) (۵) | هليوم | ۵۸۰ | ۶۸۰ | ۱۲ | -۰/۳۹-۰/۱۶ | -۰/۸ | - | - |
| زنگ و همکاران [۹۰] | ۲۰۱۰ | CVD | آهن | ۰/۸ | اتیلن | هیدروژن (۱۰٪)/ آرگون (۹۰٪) | ۷۵۰ | ۷۵۰ | - | - | ۱/۴ | - | ۱۰۰ |
| ژی و همکاران [۹۱] | ۲۰۱۱ | CVD | آهن | - | اتیلن | هیدروژن (۱۰٪)/ آرگون (۹۰٪) | ۷۵۰ | -۶۶۰ ۷۵۰ | ۶ | -۰/۲۶ | ۱/۱۷ | ۵۳/۵ | - |
| موساهه و همکاران [۹۲] | ۲۰۱۱ | CVD | آهن | ۲/۳ | استیلن (۱۰۰) | هیدروژن (۱۰٪)/ هليوم (۴۰٪) | - | ۴۲۰۰ | ۱۰ | -۰/۴۵ | -۰/۴۶ | - | ۳ |
| لیما و همکاران [۹۳] | ۲۰۱۱ | CVD | آهن | ۳-۱ | استیلن (۵۰) | هیدروژن (۱۰٪)/ آرگون (۷۵٪) | ۹۰۰ | ۷۰۰ | ۹ | -۰/۳۵ | - | - | - |
| سوزوکی و همکاران [۹۴] | ۲۰۱۱ | FC-CVD | کلرید آهن | - | استیلن | - | - | ۸۲۰ | - | ۲/۴ | - | - | - |

* رسوب بخار شیمیایی (CVD)، رسوب بخار شیمیایی در فشار اتمسفر (AP-CVD)، رسوب بخار شیمیایی فشار کم (LP-CVD)، رسوب بخار شیمیایی شناور در کاتالیزگر

(Py-CVD)، رسوب بخار شیمیایی پپرولیز (FC-CVD)

که سطح مقطع دایره‌ای دارد و پس از پایین آمدن در طول راکتور به دور یک میله استوانه پیچیده می‌شود [۱۰۰-۱۰۹].



شکل ۴. طرح نموداری تولید الیاف نانولوله‌های کربنی
به روش مستقیم [۱۰۱ و ۱۰۰-۱۰۸]

در جدول (۵) خلاصه‌ای از بررسی‌های آزمایشگاهی منتشر شده در نشریات مختلف روی شرایط تولید الیاف نانولوله‌های کربنی با روش ریسیدن مستقیم درج شده است.

۲-۳ ریسیدن الکتروفورتیک و دی الکتروفوروز

باتنی و همکاران به تولید الیاف نانولوله‌های کربنی چند جداره و تک جداره هم راستا با محور لیف در حضور میدان الکتریکی پرداختند. آنان اثر افزودن نانولوله‌های کربنی به بسپار پلی اتیلن گلایکول را در حضور لیف پلی اکریل نیتریل را موجب بهبود خواص مکانیکی و الکتریکی الیاف گزارش کردند. برای تولید الیاف، ابتدا نانولوله‌های کربنی در محلول دی متیل فرمامید پراکنده شده و سوسپانسیونی تشکیل می‌شود. سپس سوسپانسیون یادشده در بالا در لیف تجاری پلی اکریل نیتریل مخلوط شده و از پلیمر پلی اتیلن گلایکول غیر یونی برای بهبود پراکندگی نانولوله‌های کربنی در سوسپانسیون استفاده گردیده است [۱۱۰-۱۰۸].

ژو و همکارانش [۹۸] برای اولین بار روش ریسیدن مستقیم را گزارش کردند. آنان موفق به تولید الیاف نانولوله‌های کربنی تک جداره به طول تقریبی ۲۰ سانتی متر با استفاده از منبع کربنی نرمال هگزان شدند. همچنین، آنان گزارش کردند که استحکام کششی، چقرومگی، رسانایی الکتریکی و مقاومت الکتریکی الیاف تولیدی به ترتیب $1/2 \text{ Giga Pas} \text{Pa}$ ، $49 \text{ to } 77 \text{ Giga Pas} \text{Pa}$ و $1/4 \times 10^5 \text{ S/m}$ و $5 \Omega \cdot \text{cm}$ به دست آمده است. لی و همکارانش دو سال بعد با منبع کربنی اتانول الیاف نانولوله‌های کربنی را تولید کردند [۸]. آنان به این نتیجه رسیدند که برای تشکیل الیاف نانولوله‌های کربنی پیوسته، منبع کربنی حاوی اکسیژن ضروری است. کوزیول و همکارانش [۱۰۴] با ریسیدن مستقیم، الیافی با استحکام کششی و چقرومگی بسیار بالا را تولید کردند. آنان حداقل استحکام کششی و چقرومگی الیاف تولیدی را، به ترتیب، $8/8 \text{ and } 357 \text{ Giga Pas} \text{Pa}$ گزارش کردند.

اخیراً معلوم شده است که می‌توان الیاف نانولوله‌های کربنی را بر پایه کتان تولید کرد [۹۶-۹۷]. سی و همکارانش [۹۶] در سال ۲۰۰۷ میلادی شروع به تولید الیاف پیوسته نانولوله‌های کربنی بر پایه کتان کردند. آنان دلیل استفاده از نانولوله‌های کربنی در ماده‌ای مرتبط و متراکمی چون کتان را قوی‌تر کردن کنش و واکنشها مطرح کردند. ژنگ و همکارانش [۹۷] تولید الیاف کتان- نانولوله‌های کربنی را با بهره گیری از رسوب بخار شیمیایی در حضور کاتالیزگر کلرید آهن و کبات و منبع کربنی- اکسیژنی اتانول گزارش کردند. آنان دلیل استفاده از نانولوله‌های کربنی در کتان را فقدان نیروی کافی به منظور همتراز کردن و چگالی پایین نانولوله‌ها در کتان اعلام کردند. که این امر موجب نفوذ نانولوله‌های کربنی در کتان را فراهم می‌کند. با این حال، طول الیاف نانولوله‌های کربنی به روش ریسیدن مستقیم که ابتدا تا ۲۰ سانتی متر گزارش شده است [۹۸] پس از یک دهه به طول یک کیلومتر رسیده است [۹].

در شکل (۴) طرح نموداری تولید الیاف نانولوله‌های کربنی به روش ریسیدن مستقیم را مشاهده می‌کنید. مطابق شکل، کاتالیزگر به همراه منبع کربنی- اکسیژنی به کمک پمپ سرنگی وارد کوره و اکنش می‌شود. هیدروژن و یا آرگون و یا ترکیب هر دو، به عنوان گاز حامل وارد کوره می‌شوند. آئروژل حاصل استوانه‌ای توخالی است

بررسی روش‌های سنتز الاف نانولوله‌های کربنی

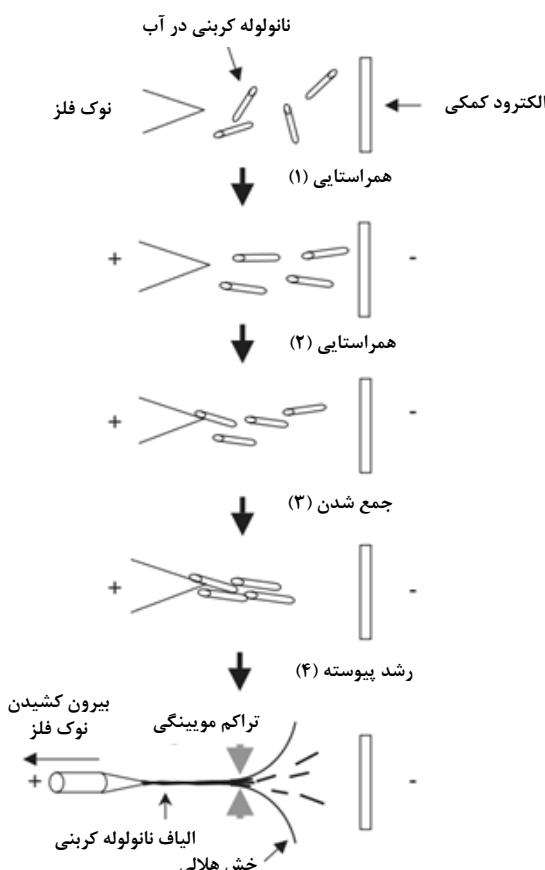
جدول ۵. شرایط سنتز ریسیدن نانولوله‌های کربنی آئروژل و جزئیات تولید الیاف در شرایط مختلف

| هدایت الکتریکی (10^5 S/m) | سختی الیاف CNT (GPa) | استحکام الیاف CNT (GPa) | CNT قطر (nm) | دما (°C) | نرخ جریان گاز حامل (mL/min) | گاز حامل (secm) | منع کربنی (secm) | نرخ تزریق واکنش دهنده (mL/h) | کاتالیست (Fe/S) (wt%) | سال انتشار | نویسندها و مرجع |
|---------------------------------------|----------------------|-------------------------|------------------|------------|-----------------------------|-----------------|-------------------------------|------------------------------|-------------------------|------------|------------------------|
| ۲-۱/۴۳ | ۷۷-۴۹ | ۱/۲ | ۱/۷-۱/۱ | ۱۱۵۰ | ۲۵۰ | هیدروژن | هگزان | ۳۰ | (g/mL)/ ۰/۴ ۰/۰۸ | ۲۰۰۲ | ژو و همکاران [۹۸] |
| ۸/۳ | - | ۱-۰/۱ | SW:1.6-3.5 MW:30 | -۱۰۵۰ ۱۲۰۰ | ۸۰۰-۴۰۰ | هیدروژن | اتانول | ۱۵-۴/۸ | -۲/۳ / ۱-۴ ۰/۲۳ | ۲۰۰۴ | لی و همکاران [۸] |
| - | ۳۰-۵ | -۰/۱۴ ۱/۴۶ | - | ۱۱۸۰ | -۴۰۰ ۱۰۰۰ | هیدروژن/ آرگون | اتانول، اتیلن، کلایکول هگزان. | ۷/۵-۲ | -۰/۰۲۲ / ۰/۰۹ ۰/۰۱-۰/۰۳ | ۲۰۰۵ | موتا و همکاران [۱۰۲] |
| - | - | - | ۲۰-۱۵ | ۱۱۸۰ | ۶۰۰ | هیدروژن | اتانول | ۷ | ۲/۳ / ۱/۵ | ۲۰۰۷ | موتا و همکاران [۱۰۳] |
| - | -۶۵ ۱۶۰ | -۱/۲ ۲/۲ | DW:5-10 | ۱۳۰۰ | ۱۵۰۰ | هیدروژن | اتانول | ۷ | ۲ / ۰/۳ | ۲۰۰۷ | موتا و همکاران [۹۹] |
| - | -۷۸ ۳۵۷ | -۱/۳ ۸/۸ | DW:4-10 | -۱۰۵۰ ۱۲۰۰ | ۸۰۰-۴۰۰ | هیدروژن | اتانول | ۱۵-۴/۸ | -۲/۳ / ۱-۴ ۰/۲۳ | ۲۰۰۷ | کازول و همکاران [۱۰۴] |
| ۸ | ۵۰ | ۱ | - | - | - | - | - | - | - | ۲۰۰۸ | استانو و همکاران [۱۰۵] |
| ۰/۸ | - | -۰/۱۲ ۰/۱۴ | ۴/۶-۱/۳ | ۱۱۷۰ | ۳۰۰-۱۰۰ | آرگون | استون | ۱۲ | ۳/۱ / ۰/۵ | ۲۰۱۰ | فنگ و همکاران [۱۰۶] |
| ۵ | - | -۰/۴ ۱/۲۵ | ۱۰-۸ | ۱۱۷۰ | ۱۰۰۰ | هیدروژن | استون | ۸ | ۱/۶ / ۰/۸ | ۲۰۱۰ | ژونگ و همکاران [۹] |
| - | - | ۰/۲۹۹ | DW:1-2 | - | - | - | - | - | - | ۲۰۰۷ | سی و همکاران [۹۶] |
| - | - | ۰/۱۹ | MW:~250 | - | - | - | اتانول | - | - | ۲۰۰۷ | ژنگ و همکاران [۹۷] |
| - | - | - | - | ۱۲۰۰ | ۱۰۰۰ | هیدروژن | فروسن (٪/۲) تیوفن (٪/۰/۸) | ۱۰ | - | ۲۰۱۲ | لی و همکاران [۱۰۷] |

تعداد زیادی از رشته‌های نانولوله‌های کربنی به صورت عمودی و هم تراز بر روی بستر سیلیکونی رشد می‌کند و در مرحله بعد با کشیدن انبو نانولوله‌های کربنی الیاف نانولوله‌های کربنی تولید می‌شود. ریسیدن مستقیم بر پایه آئروول تک مرحله‌ای استوار است و شامل تولید الیاف نانولوله‌های کربنی بدون محدودیت طولی است. سنتر الیاف نانولوله‌های کربنی با ریسیدن مستقیم در فاز بخار یک راکتور عمودی در دمای بالاتر از 1000°C انجام می‌شود. با این حال، با توجه به نواقصی چون پیوسته نبودن الیاف، عدم پایداری مطلوب نانولوله‌های کربنی در سوسپانسیون‌ها و ... در روش‌های یادشده در بالا، تحقیقات بیشتر به منظور بهبود این نواقص پیشنهاد می‌شود.

۴- سپاسگزاری

نویسنده‌گان این مقاله از ستاد و پژوهه توسعه فناوری نانو ایران، به دلیل حمایت‌های مالی از این پروژه سپاسگزاری می‌کنند.



شکل ۵. مرحله تشكيل الیاف نانولوله‌های کربنی
به روش دی الکترو فورز [۱۱۱]

در این روش، در دو سر سوسپانسیون حاوی نانولوله‌های کربنی که در آن لیف نیز وجود دارد، ولتاژی برقرار می‌شود. با برقرار شدن ولتاژ لیف به عنوان الکترود مثبت عمل می‌کند و نانولوله‌های کربنی با بار منفی ذاتی خود جذب لیف می‌شوند. به بیان دیگر، نانولوله‌ها به صورت الکتروفورتیک به سمت لیف با بار مثبت مهاجرت می‌کنند. با این حال، مطالعات مشابهی توسط او دین و همکاران انجام شده است [۱۱۰].

در روش دی الکترو فورز از میدان الکتریکی جریان متناوب برای تولید الیاف نانولوله‌های کربنی استفاده می‌شود که به صورت محدود گزارش شده است. با برقراری میدان نانولوله‌ها در طول محور لیف هم تراز می‌شوند. تنگ و همکارانش [۱۱۱] با تشکیل سوسپانسیون نانولوله‌های کربنی در محیط آبی الیاف تولید کردند. آنان با برقرار کردن میدان الکتریکی جریان متناوب نانولوله‌های موجود در سوسپانسیون آبی را هم راستا کردند. با رشد و مهاجرت نانولوله‌ها با بار منفی ذاتی خود به سمت بار مثبت و تراکم ایجاد شده الیاف تشکیل شده است. در این روش، غلظت سوسپانسیون و سرعت کشش از عوامل تأثیر گذار بر قطر الیاف است. در شکل (۵) مراحل تشکیل الیاف به روش دی الکترو فورز را مشاهده می‌کنید.

۳- نتیجه‌گیری

در حال حاضر، با توجه به کاربردهای روز افزون الیاف‌های نانولوله‌های کربنی در حوزه‌های مختلف، به نظر می‌رسد در سال‌های پیش رو شاهد پیشرفت‌هایی در زمینه‌های تحقیقاتی در زمینه تولید پیوسته الیاف نانولوله‌های کربنی باشیم. بر همین اساس، روش‌های مختلف ریسیدن الیاف نانولوله‌های کربنی مطالعه و بررسی شد. از روش‌های تولید الیاف نانولوله‌های کربنی می‌توان به ریسیدن محلول، ریسیدن حالت جامد و ریسیدن الکتروفورتیک و دی الکترو فورز اشاره کرد. روش‌های ریسیدن محلول بر پایه پلیمرها، فعال‌کننده‌های سطحی و اسیدها انجام می‌شود. در این روش، ابتدا سوسپانسیونی پایدار به منظور تولید الیاف تشکیل و سپس عملیات اختلاط و ریسیدن سوسپانسیون انجام می‌شود. ریسیدن حالت جامد به دو صورت حالت خشک بر پایه Forest و حالت مستقیم بر پایه آئروول انجام می‌شود. تفاوت این دو نوع ریسیدن حالت جامد در دو و تک مرحله‌ای بودن ریسیدن الیاف نانولوله‌های کربنی است. در روش ریسیدن خشک از نوع Forest،

- [1] Iijima, S., "Helical microtubules of graphitic carbon", *nature*, 354(6348), 56-58, (1991).
- [2] Ebbesen, T., Lezec, H., Hiura, H., Bennett, J., Ghaemi, H., Thio, T., "Electrical conductivity of individual carbon nanotubes", *Nature*, 382, (1996).
- [3] Kim, P., Shi, L., Majumdar, A., McEuen, P., "Thermal transport measurements of individual multiwalled nanotubes", *Physical review letters*, 87(21), 215502, (2001).
- [4] De Heer, W. A., Chatelain, A., Ugarte, D., "A carbon nanotube field-emission electron source", *Science*, 270(5239), 1179-1180, (1995).
- [5] Jiang, K., Li Q., Fan, S., "Nanotechnology: Spinning continuous carbon nanotube yarns", *Nature*, 419(6909), 801-801, (2002).
- [6] Zhang, M., Atkinson, K. R., Baughman, R. H., "Multifunctional carbon nanotube yarns by downsizing an ancient technology", *Science*, 306(5700), 1358-1361, (2004).
- [7] Ericson, L. M., Fan, H., Peng, H., Davis, V. A., Zhou, W., Sulpizio, J., Wang, Y., Booker, R., Vavro, J., Guthy, C., "Macroscopic, neat, single-walled carbon nanotube fibers", *Science*, 305(5689), 1447-1450, (2004).
- [8] Li, Y.-L., Kinloch, I. A., Windle, A. H., "Direct spinning of carbon nanotube fibers from chemical vapor deposition synthesis", *Science*, 304(5668), 276-278, (2004).
- [9] Zhong, X. H., Li, Y. L., Liu, Y. K., Qiao, X. H., Feng, Y., Liang, J., Jin, J., Zhu, L., Hou, F., Li, J. Y., "Continuous multilayered carbon nanotube yarns", *Advanced materials*, 22(6), 692-696, (2010).
- [10] Jayasinghe, C., Amstutz, T., Schulz, M. J., Shanov, V., "Improved processing of carbon nanotube yarn", *Journal of Nanomaterials*, 2013, 7, (2013).
- [11] Shanbedi, M., Zeinali Heris, S., Baniadam, M., Amiri, A., Maghrebi, M., "Investigation of heat-transfer characterization of EDA-MWCNT/DI-water nanofluid in a two-phase closed thermosyphon", *Industrial & Engineering Chemistry Research*, 51(3), 1423-1428, (2012).
- [12] Azizi, M., Hosseini, M., Zafarnak, S., Shanbedi, M., Amiri, A., "Experimental Analysis of Thermal Performance in a Two-Phase Closed Thermosiphon Using Graphene/Water Nanofluid", *Industrial & Engineering Chemistry Research*, 52(29), 10015-10021, (2013).
- [13] Shanbedi, M., Zeinali Heris, S., Baniadam, M., Amiri, A., "The Effect of Multi-Walled Carbon Nanotube/Water Nanofluid on Thermal Performance of a Two-Phase Closed Thermosyphon", *Experimental Heat Transfer*, 26(1), 26-40, (2013).
- [14] Amiri, A., Shanbedi, M., Eshghi, H., Zeinali Heris, S., Baniadam, M., "Highly dispersed multiwalled carbon nanotubes decorated with Ag nanoparticles in water and experimental investigation of the thermophysical properties", *The Journal of Physical Chemistry C*, 116(5), 3369-3375, (2012).
- [15] Shanbedi, M., Zeinali Heris, S., Amiri, A., Baniadam, M., "Improvement in Heat Transfer of a Two-Phased Closed Thermosyphon Using Silver-Decorated MWCNT/Water", *Journal of Dispersion Science and Technology*, 35(8), 1086-1096, (2014).
- [16] Ajayan, P., Stephan, O., Colliex, C., Trauth, D., "Aligned carbon nanotube arrays formed by cutting a polymer resin—nanotube composite", *Science*, 265(5176), 1212-1214, (1994).
- [17] Ajayan, P. M., Schadler, L. S., Giannaris, C., Rubio, A., "Single-walled carbon nanotube–polymer composites: strength and weakness", *Advanced materials*, 12(10), 750-753, (2000).
- [18] Zare Zardini, H., Amiri, A., Shanbedi, M., Maghrebi, M., Baniadam, M., "Enhanced antibacterial activity of amino acids-functionalized multi walled carbon nanotubes by a simple method", *Colloids and Surfaces B: Biointerfaces*, 92, 196-202, (2012).
- [19] Amiri, A., Zare Zardini, H., Shanbedi, M., Maghrebi, M., Baniadam, M., Tolueinia, B., "Efficient method for functionalization of carbon nanotubes by lysine and improved antimicrobial activity and water-dispersion", *Materials Letters*, 72, 153-156, (2012).
- [20] Zare Zardini, H., Amiri, A., Shanbedi, M., Memarpoor-Yazdi, M., Asoodeh, A., "Studying of antifungal activity of functionalized multiwalled carbon nanotubes by microwave-assisted technique", *Surface and Interface Analysis*, 45(3), 751-755, (2013).
- [21] Zare Zardini, H., Davarpanah, M., Shanbedi, M., Amiri, A., Maghrebi, M., Ebrahimi, L., "Microbial toxicity of ethanolamines-multi walled carbon nanotubes", *Journal of Biomedical Materials Research Part A*, 102(6), 1774-1781 (2014).
- [22] Amiri, A., Memarpoor-Yazdi, M., Shanbedi, M., Eshghi, H., "Influence of different amino acid groups on the free radical scavenging capability of multi walled carbon nanotubes", *Journal of Biomedical Materials Research Part A*, 101(8), 2219-2228, (2013).
- [23] Zhang, H. X., Feng, C., Zhai, Y. C., Jiang, K. L., Li, Q. Q., Fan, S. S., "Cross-Stacked Carbon Nanotube Sheets Uniformly Loaded with SnO₂ Nanoparticles: A Novel Binder-Free and High-Capacity Anode Material for Lithium-Ion Batteries", *Advanced materials*, 21(22), 2299-2304, (2009).
- [24] Dillon, A. C., Jones, K., Bekkedahl, T., Kiang, C., Bethune, D., Heben, M., "Storage of hydrogen in single-walled carbon nanotubes", *Nature*, 386(6623), 377-379, (1997).

- [25] Zhao, H., Zhang, Y., Bradford, P. D., Zho, U. Q., Jia, Q., Yuan, F. G., Zhu, Y., "Carbon nanotube yarn strain sensors", *Nanotechnology*, 21(30), 305502, (2010).
- [26] Tans, S. J., Verschueren, A. R., Dekker, C., "Room-temperature transistor based on a single carbon nanotube", *Nature*, 393(6680), 49-52, (1998).
- [27] Bachtold, A., Hadley, P., Nakanishi, T., Dekker, C., "Logic circuits with carbon nanotube transistors", *Science*, 294(5545), 1317-1320, (2001).
- [28] Schulz, M. J., Kelkar, A. D., Sundaresan, M. J., "Nanoengineering of Structural, Functional and Smart Materials", CRC Press, 2005.
- [29] O'Connell, M. J., Boul, P., Ericson, L. M., Huffman, C., Wang, Y., Haroz, E., Kuper, C., Tour, J., Ausman, K. D., Smalley, R. E., "Reversible water-solubilization of single-walled carbon nanotubes by polymer wrapping", *Chemical Physics Letters*, 342(3), 265-271, (2001).
- [30] Shvartzman-Cohen, R., Levi-Kalisman, Y., Nativ-Roth, E., Yerushalmi-Rozen, R., "Generic approach for dispersing single-walled carbon nanotubes: the strength of a weak interaction", *Langmuir*, 20(15), 6085-6088, (2004).
- [31] Kang, Y., Taton, T. A., "Micelle-encapsulated carbon nanotubes: a route to nanotube composites", *Journal of the American Chemical Society*, 125(19), 5650-5651, (2003).
- [32] Nakashima, N., Okuzono, S., Tomonari, Y., Murakami, H., "Solubilization of carbon nanotubes with a pyrene-carrying polymer in water," *Transactions-Materials Research Society of Japan*, 29(2), 525-528, (2004).
- [33] Valter, B., Ram, M. K., Nicolini, C., "Synthesis of multiwalled carbon nanotubes and poly (o-anisidine) nanocomposite material: Fabrication and characterization of its Langmuir-Schaefer films", *Langmuir*, 18(5), 1535-1541, (2002).
- [34] Vigolo, B., Penicaud, A., Coulon, C., Sauder, C., Pailler, R., Journet, C., Bernier, P., Poulin, P., "Macroscopic fibers and ribbons of oriented carbon nanotubes", *Science*, 290(5495), 1331-1334, (2000).
- [35] Vigolo, B., Poulin, P., Luca,s M., Launois, P., Bernier, P., "Improved structure and properties of single-wall carbon nanotube spun fibers", *Applied Physics Letters*, 81(7), 1210-1212, (2002).
- [36] Badaire, S., Pichot, V., Zakri, C., Poulin, P., Launois, P., Pavro, J., Guthy, C., Chen, M., Fischer, J. E., "Correlation of properties with preferred orientation in coagulated and stretch-aligned single-wall carbon nanotubes", *Journal of Applied Physics*, 96(12), 7509-7513, (2004).
- [37] Islam, M., Rojas, E., Bergey, D., Johnson, A., Yodh, A., "High weight fraction surfactant solubilization of single-wall carbon nanotubes in water", *Nano Letters*, 3(2), 269-273, (2003).
- [38] Barisci, J. N., Tahhan, M., Wallace, G. G., Badaire, S., Vaugien, T., Maugey, M., Poulin, P., "Properties of Carbon Nanotube Fibers Spun from DNA-Stabilized Dispersions", *Advanced Functional Materials*, 14(2), 133-138, (2004).
- [39] Li, J., Chen, S., Sheng, G., Hu, J., Tan, X., Wang, X., "Effect of surfactants on Pb (II) adsorption from aqueous solutions using oxidized multiwall carbon nanotubes", *Chemical Engineering Journal*, 166(2), 551-558, (2011).
- [40] Kathi, J., Rhe,e K. Y., Lee, J. H., "Effect of chemical functionalization of multi-walled carbon nanotubes with 3-aminopropyltriethoxysilane on mechanical and morphological properties of epoxy nanocomposites", *Composites Part A: Applied Science and Manufacturing*, 40(6), 800-809, (2009).
- [41] Néri, W., Maugey, M., Miaudet, P., Derré, A., Zakri, C., Poulin, P., "Surfactant-Free Spinning of Composite Carbon Nanotube Fibers", *Macromolecular rapid communications*, 27(13), 1035-1038, (2006).
- [42] Amiri, A., Maghrebi, M., Baniadam, M., Zeinali Heris, S., "One-pot, efficient functionalization of multi-walled carbon nanotubes with diamines by microwave method", *Applied Surface Science*, 257(23), 10261-10266, (2011).
- [43] Liu, J., Vigolo, B., Dossot, M., Fort, Y., Ehrhardt, J. J., McRae, E., "Efficient microwave-assisted radical functionalization of single-wall carbon nanotubes", *Carbon*, 45(4), 885-891, (2007).
- [44] Davis, V. A., Ericson, L. M., Parra-Vasquez, A. N. G., Fan, H., Wang, Y., Prieto, V., Longoria, J. A., Ramesh, S., Saini, R. K., Kittrell, C., "Phase behavior and rheology of SWNTs in superacids", *Macromolecules*, 37(1), 154-160, (2004).
- [45] Shin, S.R., Lee, C. K., So, I., Jeon J. H., Kang, T. M., Kee, C., Kim, S. I., Spinks, G. M., Wallace, G. G., Kim, S. J., "DNA-Wrapped Single-Walled Carbon Nanotube Hybrid Fibers for supercapacitors and Artificial Muscles", *Advanced Materials*, 20(3), 466-470, (2008).
- [46] Li, Q., Li, Y., Zhang, X., Chikkannanavar, S. B., Zhao, Y., Dangelewicz, A. M., Zheng, L., Doorn, S. K., Jia, Q., Peterson, D. E., "Structure-Dependent Electrical Properties of Carbon Nanotube Fibers", *Advanced Materials*, 19(20), 3358-3363, (2007).
- [47] Bateni, F., Hosseini Ravandi, S. A., Valipouri, A., "Structural characterization and investigation of selected properties of hybrid yarn coated with carbon nanotube composite nanofibers", *Journal of Applied Polymer Science*, 128(2), 1143-1151, (2012).
- [48] Perrot, C., Piccione, P. M., Zakri, C., Gaillard, P., Poulin, P., "Influence of the spinning conditions on the structure and properties of polyamide 12/carbon nanotube composite fibers", *Journal of Applied Polymer Science*, 114(6), 3515-3523, (2009).

- [49] Dalton, A. B., Collins, S., Munoz, E., Razal, J. M., Ebron, V. H., Ferraris, J. P., Coleman, J. N., Kim, B. G., Baughman, R. H., "Super-tough carbon-nanotube fibres", *Nature*, 423(6941), 703-703, (2003).
- [50] Steinmetz, J., Glerup, M., Paillet, M., Bernier, P., Holzinger, M., "Production of pure nanotube fibers using a modified wet-spinning method", *Carbon*, 43(11), 2397-2400, (2005).
- [51] Kozlov, M. E., Capps, R. C., Sampson, W. M., Ebron, V. H., Ferraris, J. P., Baughman, R. H., "Spinning Solid and Hollow Polymer-Free Carbon Nanotube Fibers", *Advanced Materials*, 17(5), 614-617, (2005).
- [52] Inoue, Y., Kakihata, K., Hirono, Y., Horie, T., Ishida, A., Mimura, H., "One-step grown aligned bulk carbon nanotubes by chloride mediated chemical vapor deposition", *Applied Physics Letters*, 92(21), 213113-213115, (2008).
- [53] Ghemes, A., Minami, Y., Muramatsu, J., Okada, M., Mimura, H., Inoue, Y., "Fabrication and mechanical properties of carbon nanotube yarns spun from ultra-long multi-walled carbon nanotube arrays", *Carbon*, 50(12), 4579-4587, (2012).
- [54] Min, J., Cai, J. Y., Sridhar, M., Easton, C. D., Gengenbach T., McDonnell, J., Humphries, W., Lucas, S., "High performance carbon nanotube spun yarns from a crosslinked network", *Carbon*, 52, 520-527, (2013).
- [55] Miao, M., "Production, structure and properties of twistless carbon nanotube yarns with a high density sheath", *Carbon*, 50, 4973-4983, (2012).
- [56] Riccardis, M. D., Carbone, D., Makris, T. D., Giorgi, R., Lisi, N., Salernitano, E., "Anchorage of carbon nanotubes grown on carbon fibres", *Carbon*, 44(4), 671-674, (2006).
- [57] Miao, M., "Electrical conductivity of pure carbon nanotube yarns", *Carbon*, 49(12), 3755-3761, (2011).
- [58] Fallah Gilvaei, A., Hirahara, K., Nakayama, Y., "In-situ study of the carbon nanotube yarn drawing process", *Carbon*, 49(14), 4928-4935, (2011).
- [59] Jakubinek, M. B., Johnson, M. B., White, M. A., Jayasinghe, C., Li, G., Cho, W., Schulz, M. J., Shanov, V., "Thermal and electrical conductivity of array-spun multi-walled carbon nanotube yarns", *Carbon*, 50(1), 244-248, (2012).
- [60] Miao, M., Hawkins, S. C., Cai, J. Y., Gengenbach, T. R., Knott, R., Huynh, C. P., "Effect of gamma-irradiation on the mechanical properties of carbon nanotube yarns", *Carbon*, 49(14), 4940-4947, (2011).
- [61] Deng, F., Rujisamphan, N., Liu, C., Maezono, Y., Hawkins, S. C., Huynh, C. P., Ismat Shah, S., Ni, C., "Grafting polymer coatings onto the surfaces of carbon nanotube forests and yarns via a photon irradiation process", *Applied Physics Letters*, 100(21), 213109-213111, (2012).
- [62] Obraztsov, A. N., Lyashenko, D. A., Fang, S., Baughman, R. H., Obraztsov, P. A., Garnov, S. V., Svirko, Y. P., "Photon drag effect in carbon nanotube yarns", *Applied Physics Letters*, 94(23), 231112-231114, (2009).
- [63] Wei, Y., Weng, D., Yang, Y., Zhang, X., Jiang, K., Liu, L., Fan, S., "Efficient fabrication of field electron emitters from the multiwalled carbon nanotube yarns", *Applied Physics Letters*, 89(6), 063101-063103, (2006).
- [64] Bradford, P. D., Bogdanovich, A. E., "Electrical conductivity study of carbon nanotube yarns, 3-D hybrid braids and their composites", *Journal of composite materials*, 42(15), 1533-1545, (2008).
- [65] Foroughi, J., Kimiaghaham, B., Ghorbani, S. R., Safaei, F., Abolhasan, M., "Effect of conducting polypyrrole on the transport properties of carbon nanotube yarn", *Thin Solid Films*, 520, 7049-7053, (2012).
- [66] Dai, H., Kong, J., Zhou, C., Franklin, N., Tombler, T., Cassell, A., Fan, S., Chapline, M., "Controlled chemical routes to nanotube architectures, physics, and devices", *The Journal of Physical Chemistry B*, 103(51), 11246-11255, (1999).
- [67] Liu, K., Jiang, K., Feng, C., Chen, Z., Fan, S., "A growth mark method for studying growth mechanism of carbon nanotube arrays", *Carbon*, 43(14), 2850-2856, (2005).
- [68] Liu, K., Sun, Y., Chen, L., Feng, C., Feng, X., Jiang, K., Zhao, Y., Fan, S., "Controlled growth of super-aligned carbon nanotube arrays for spinning continuous unidirectional sheets with tunable physical properties", *Nano Letters*, 8(2), 700-705, (2008).
- [69] Liu, K., Sun, Y., Zhou, R., Zhu, H., Wang, J., Liu, L., Fan, S., Jiang, K., "Carbon nanotube yarns with high tensile strength made by a twisting and shrinking method", *Nanotechnology*, 21(4), 045708, (2010).
- [70] Li, Q., Zhang, X., DePaula, R. F., Zheng, L., Zhao, Y., Stan, L., Holesinger, T. G., Arendt, P. N., Peterson, D. E., Zhu, Y. T., "Sustained growth of ultralong carbon nanotube arrays for fiber spinning", *Advanced Materials*, 18(23), 3160-3163, (2006).
- [71] Li, Q., DePaula, R., Zhang, X., Zheng, L., Arendt, P. N., Mueller, F. M., Zhu, Y., Tu, Y., "Drying induced upright sliding and reorganization of carbon nanotube arrays", *Nanotechnology*, 17(18), 4533, (2006).
- [72] Lee, I. H., Han, G. H., Chae, S. J., Bae, J. J., Kim, E. S., Kim, S. M., Kim, T. H., Jeong, H. K., Hee Lee, Y., "Criteria for Producing Yarns from Vertically Aligned Carbon Nanotubes", *Nano*, 5(01), 31-38, (2010).
- [73] Zhang, X., Jiang, K., Feng, C., Liu, P., Zhang, L., Kong, J., Zhang, T., Li, Q., Fan, S., "Spinning and Processing Continuous Yarns from 4-Inch Wafer Scale Super-Aligned Carbon Nanotube Arrays", *Advanced materials*, 18(12), 1505-1510, (2006).

- [74] Zhang, X., Li, Q., Holesinger, T. G., Arendt, P. N., Huang, J., Kirven, P. D., Clapp, T. G., DePaula, R. F., Liao, X., Zhao, Y., "Ultrastrong, Stiff, and Lightweight Carbon-Nanotube Fibers", *Advanced materials*, 19(23), 4198-4201, (2007).
- [75] Zhang, X., Li, Q., Tu, Y., Li, Y., Coulter, J. Y., Zheng, L., Zhao, Y., Jia, Q., Peterson, D. E., Zhu, Y., "Strong Carbon-Nanotube Fibers Spun from Long Carbon-Nanotube Arrays", *Small*, 3(2), 244-248, (2007).
- [76] Zhang, S., Zhu, L., Minus, M. L., Chae, H. G., Jagannathan, S., Wong, C. P., Kowalik, J., Roberson, L. B., Kumar, S., "Solid-state spun fibers and yarns from 1-mm long carbon nanotube forests synthesized by water-assisted chemical vapor deposition", *Journal of Materials Science*, 43(13), 4356-4362, (2008).
- [77] Zhang, Q., Huang, J. Q., Zhao, M. Q., Qian, W. Z., Wei, F., "Modulating the diameter of carbon nanotubes in array form via floating catalyst chemical vapor deposition", *Applied Physics A*, 94(4), 853-860 (2009).
- [78] Zhang, Q., Wang, D. G., Huang, J. Q., Zhou, W. P., Luo, G. H., Qian, W. Z., Wei, F., "Dry spinning yarns from vertically aligned carbon nanotube arrays produced by an improved floating catalyst chemical vapor deposition method", *Carbon*, 48(10), 2855-2861, (2010).
- [79] Atkinson, K. R., Hawkins, S. C., Huynh, C., Skourtis, C., Dai, J., Zhang, M., Fang, S., Zakhidov, A. A., Lee, S. B., Aliev, A. E., "Multifunctional carbon nanotube yarns and transparent sheets: fabrication, properties, and applications", *Physica B: Condensed Matter*, 394(2), 339-343, (2007).
- [80] Wei, Y., Jiang, K., Feng, X., Liu, P., Liu, L., Fan, S., "Comparative studies of multiwalled carbon nanotube sheets before and after shrinking", *Physical Review B*, 76(4), 045423, (2007).
- [81] Peng, H., Jain, M., Li, Q., Peterson, D. E., Zhu, Y., Jia, Q., "Vertically aligned pearl-like carbon nanotube arrays for fiber spinning", *Journal of the American Chemical Society*, 130(4), 1130-1131, (2008).
- [82] Shimizu, S., Okada, M., Inoue, Y., Neo, Y., Kume, H., Aoki, T., Mimura, H., "Growth and application of ultra-long multi-walled carbon nanotube", *Journal of Automation Mobile Robotics and Intelligent Systems*, 3(4), 163-165, (2009).
- [83] Tran, C. D., Humphries, W., Smith, S. M., Huynh, C., Lucas, S., "Improving the tensile strength of carbon nanotube spun yarns using a modified spinning process", *Carbon*, 47(11), 2662-2670, (2009).
- [84] Sears, K., Skourtis, C., Atkinson, K., Finn, N., Humphries, W., "Focused ion beam milling of carbon nanotube yarns to study the relationship between structure and strength", *Carbon*, 48(15), 4450-4456, (2010).
- [85] Huynh, C. P., Hawkins, S. C., "Understanding the synthesis of directly spinnable carbon nanotube forests", *Carbon*, 48(4), 1105-1115, (2010).
- [86] Huynh, C. P., Hawkins, S. C., Redrado, M., Barnes, S., Lau, D., Humphries, W., Simon, G. P., "Evolution of directly-spinnable carbon nanotube growth by recycling analysis", *Carbon*, 49(6), 1989-1997, (2011).
- [87] Lepró, X., Lima, M. D., Baughman, R. H., "Spinnable carbon nanotube forests grown on thin, flexible metallic substrates", *Carbon*, 48(12), 3621-3627, (2010).
- [88] Yang, Z., Zhang, Q., Luo, G., Huang, J. Q., Zhao, M. Q., Wei, F., "Coupled process of plastics pyrolysis and chemical vapor deposition for controllable synthesis of vertically aligned carbon nanotube arrays", *Applied Physics A*, 100(2), 533-540, (2010).
- [89] Fang, S., Zhang, M., Zakhidov, A. A., Baughman, R. H., "Structure and process-dependent properties of solid-state spun carbon nanotube yarns", *Journal of Physics: Condensed Matter*, 22(33), 334221, (2010).
- [90] Zheng, L., Sun, G., Zhan, Z., "Tuning Array Morphology for High-Strength Carbon-Nanotube Fibers", *Small*, 6(1), 132-137, (2010).
- [91] Jia, J., Zhao, J., Xu, G., Di, J., Yong, Z., Tao, Y., Fang, C., Zhang, Z., Zhang, X., Zheng, L., "A comparison of the mechanical properties of fibers spun from different carbon nanotubes", *Carbon*, 49(4), 1333-1339, (2011).
- [92] Musameh, M., Notivoli, M. R., Hickey, M., Kyratzis, I. L., Gao, Y., Huynh, C., Hawkins, S. C., "Carbon nanotube webs: a novel material for sensor applications", *Advanced Materials*, 23(7), 906-910, (2011).
- [93] Lima, M. D., Fang, S., Lepró, X., Lewis, C., Ovalle-Robles, R., Carretero-González, J., Castillo-Martínez, E., Kozlov, M. E., Oh, J., Rawat, N., "Biscrolling nanotube sheets and functional guests into yarns", *Science*, 331(6013), 51-55, (2011).
- [94] Suzuki, K., Sakakibara, S., Okada, M., Neo, Y., Mimura, H., Inoue, Y., Murata, T., "Study of Carbon-Nanotube Web Thermoacoustic Loud Speakers", *Japanese Journal of Applied Physics*, 50(1), 01BJ10, (2011).
- [95] Carver, R. L., Peng, H., Sadana, A. K., Nikolaev, P., Areppalli, S., Scott, C. D., Billups, W., Haug, R. H., Smalley, R. E., "A model for nucleation and growth of single wall carbon nanotubes via the HiPco process: a catalyst concentration study", *Journal of Nanoscience and Nanotechnology*, 5(7), 1035-1040, (2005).
- [96] Ci, L., Punbusayakul, N., Wei, J., Vajtai, R., Talapatra, S., Ajayan, P. M., "Multifunctional Macroarchitectures of Double-Walled Carbon Nanotube Fibers", *Advanced materials*, 19(13), 1719-1723, (2007).

- [97] Zheng, L., Zhang, X., Li, Q., Chikkannanavar, S. B., Li, Y., Zhao, Y., Liao, X., Jia, Q., Doorn, S. K., Peterson, D. E., "Carbon-Nanotube Cotton for Large-Scale Fibers", *Advanced Materials*, 19(18), 2567-2570, (2007).
- [98] Zhu, H., Xu, C., Wu, D., Wei, B., Vajtai, R., Ajayan, P., "Direct synthesis of long single-walled carbon nanotube strands", *Science*, 296(5569), 884-886, (2002).
- [99] Motta, M., Moisala, A., Kinloch, I. A., Windle, A. H., "High performance fibres from 'dog bone'carbon nanotubes", *Advanced Materials*, 19(21), 3721-3726, (2007).
- [100] اسماعیلی، ا.، "الیاف نانولوله‌های کربنی"، فناوری نانو، پیاپی ۱۵۳، شماره ۴، صفحه ۱۱-۱۵، (۱۳۸۹).
- [101] Vilatela, J. J., Windle, A. H., "A Multifunctional Yarn Made Of Carbon Nanotubes", *Journal of Engineered Fibers and Fabrics*, Special Issue(23-28, (2012).
- [102] Motta, M., Li, Y. L., Kinloch, I., Windle, A., "Mechanical properties of continuously spun fibers of carbon nanotubes", *Nano Letters*, 5(8), 1529-1533, (2005).
- [103] Motta, M., Kinloch, I., Moisala, A., Premnath, V., Pick, M., Windle, A., "The parameter space for the direct spinning of fibres and films of carbon nanotubes", *Physica E: Low-dimensional Systems and Nanostructures*, 37(1), 40-43, (2007).
- [104] Koziol, K., Vilatela, J., Moisala, A., Motta, M., Cunniff, P., Sennett, M., Windle, A., "High-performance carbon nanotube fiber", *Science*, 318(5858), 1892-1895, (2007).
- [105] Stano, K. L., Koziol, K., Pick, M., Motta, M. S., Moisala, A., Vilatela, J. J., Frasier, S., Windle, A. H., "Direct spinning of carbon nanotube fibres from liquid feedstock", *International Journal of Material Forming*, 1(2), 59-62, (2008).
- [106] Feng, J. M., Wang, R., Li, Y. L., Zhong, X. H., Cui, L., Guo, Q. J., Hou, F., "One-step fabrication of high quality double-walled carbon nanotube thin films by a chemical vapor deposition process", *Carbon*, 48(13), 3817-3824, (2010).
- [107] Lee, J., Jung, Y., Song, J., Kim, J. S., Lee, G. W., Jeong, H. J., Jeong, Y., "High-performance field emission from a carbon nanotube carpet", *Carbon*, 50(10), 3889-3896, (2012).
- [108] Vaismann, L., Wagner, H. D., Marom, G., "The role of surfactants in dispersion of carbon nanotubes", *Advances in colloid and interface science*, 128, 37-46, (2006).
- [109] Pan, C., Ge, L. Q., Gu, Z. Z., "Fabrication of multi-walled carbon nanotube reinforced polyelectrolyte hollow nanofibers by electrospinning", *Composites Science and Technology*, 67(15), 3271-3277, (2007).
- [110] Uddin, N. M., Ko, F., Xiong, J., Farouk, B., Capaldi, F., "Process, Structure, and Properties of Electrospun Carbon Nanotube-Reinforced Nanocomposite Yarns", *Advances in Materials Science and Engineering*, (2009).
- [111] Tang, J., Gao, B., Geng, H., Velev, O. D., Qin, L. C., Zhou, O., "Assembly of 1D Nanostructures into Sub-micrometer Diameter Fibrils with Controlled and Variable Length by Dielectrophoresis", *Advanced Materials*, 15(16), 1352-1355, (2003).